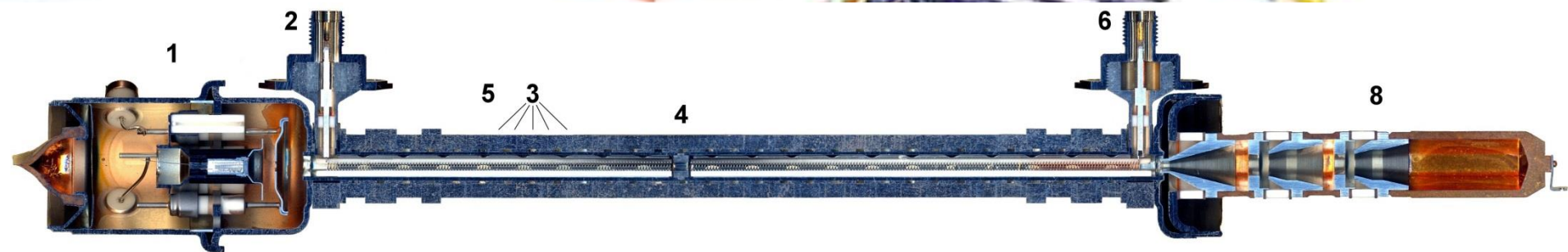
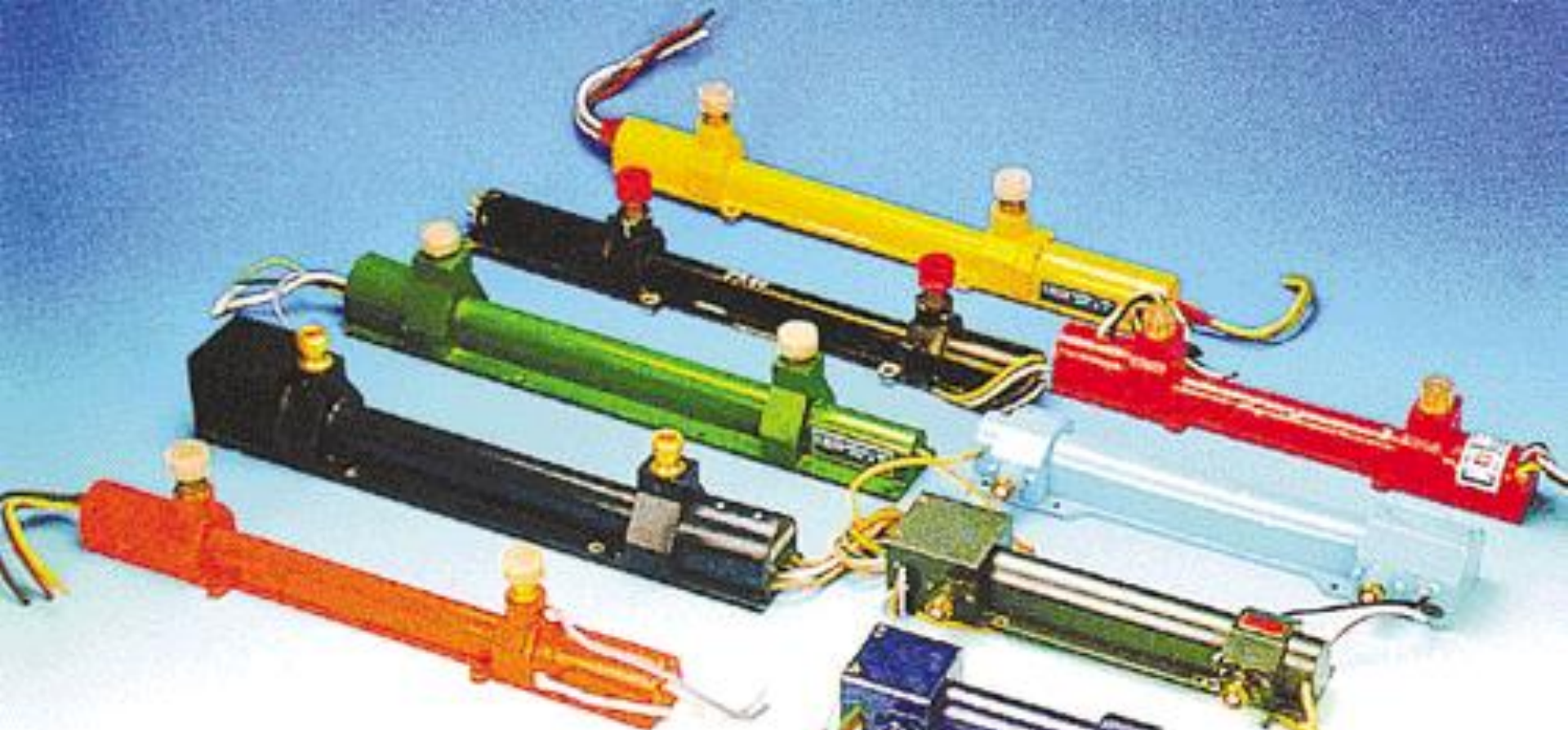


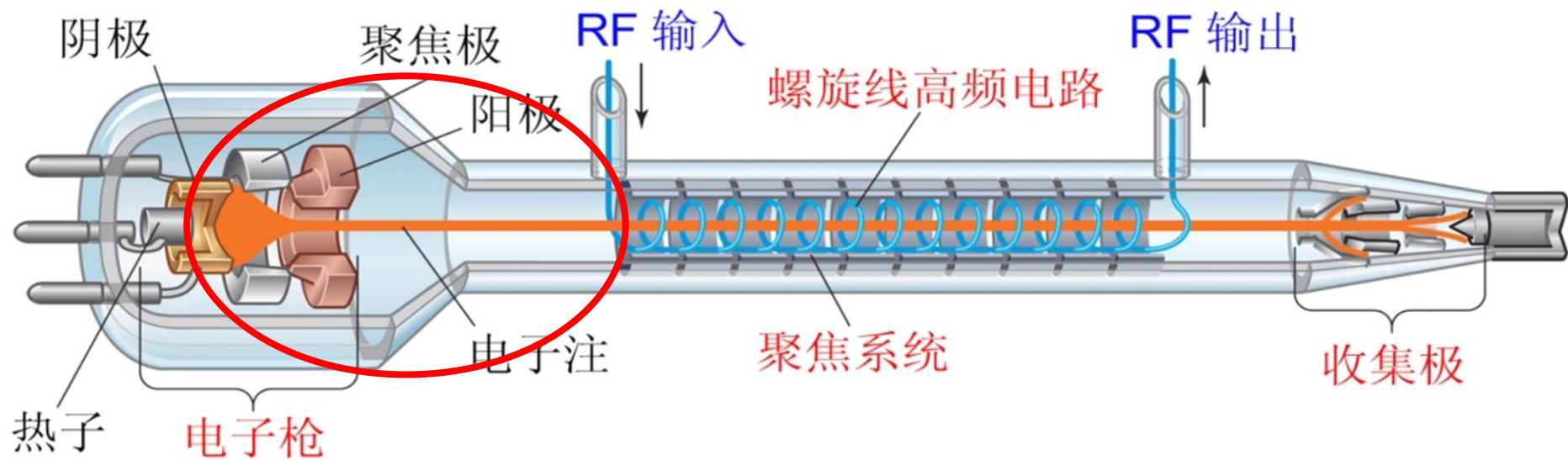
静电场数值计算方法

——行波管电子光学基本理论与数值模拟技术

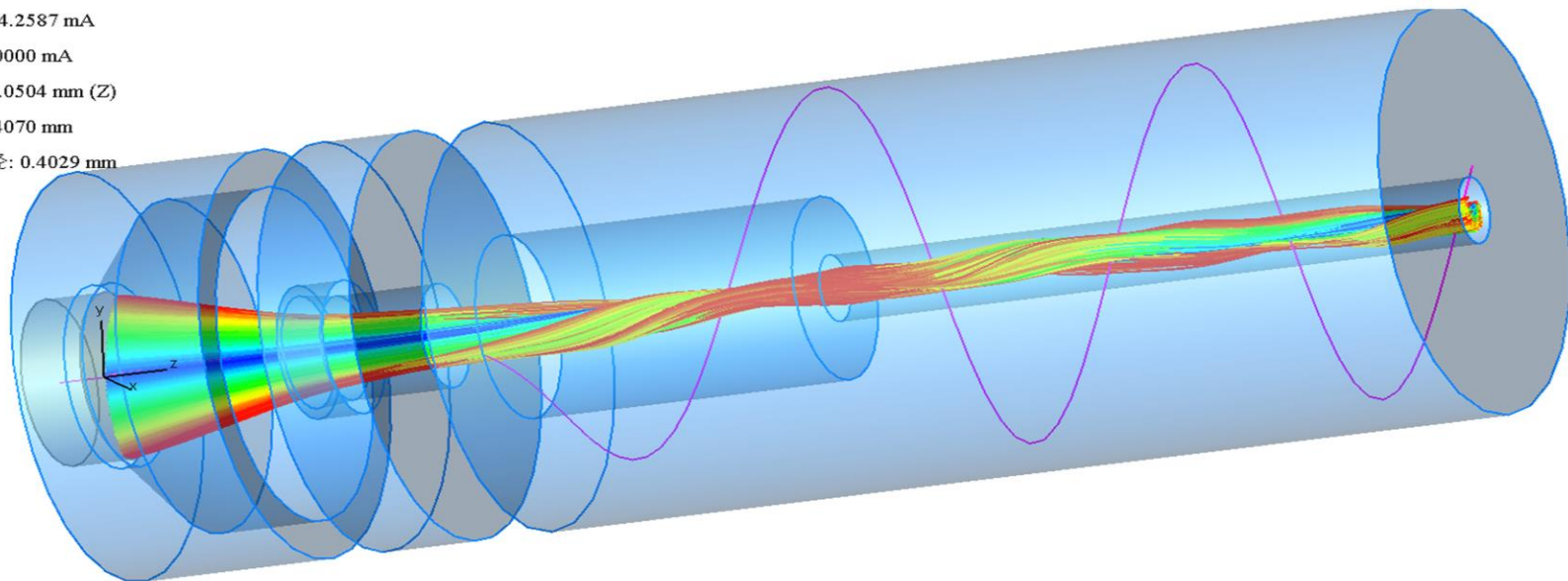
行波管电子光学是什么？

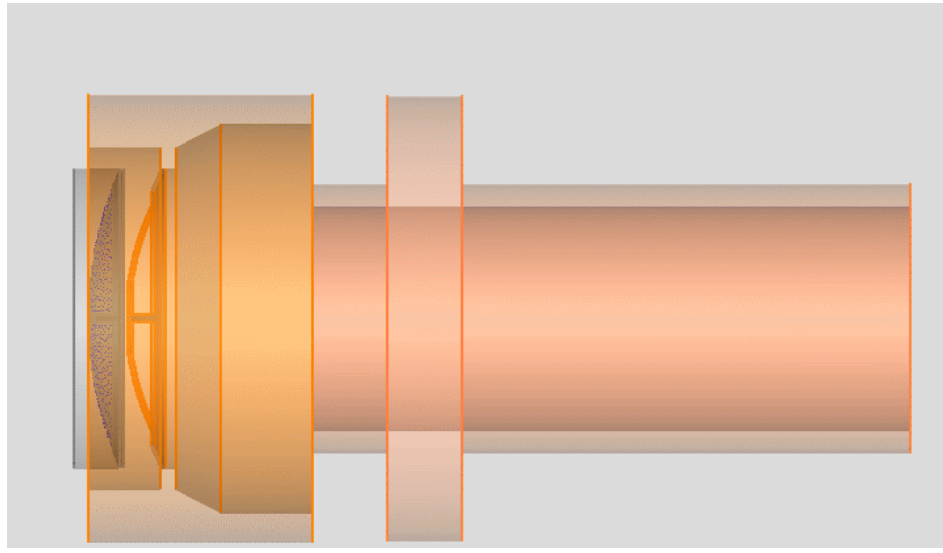
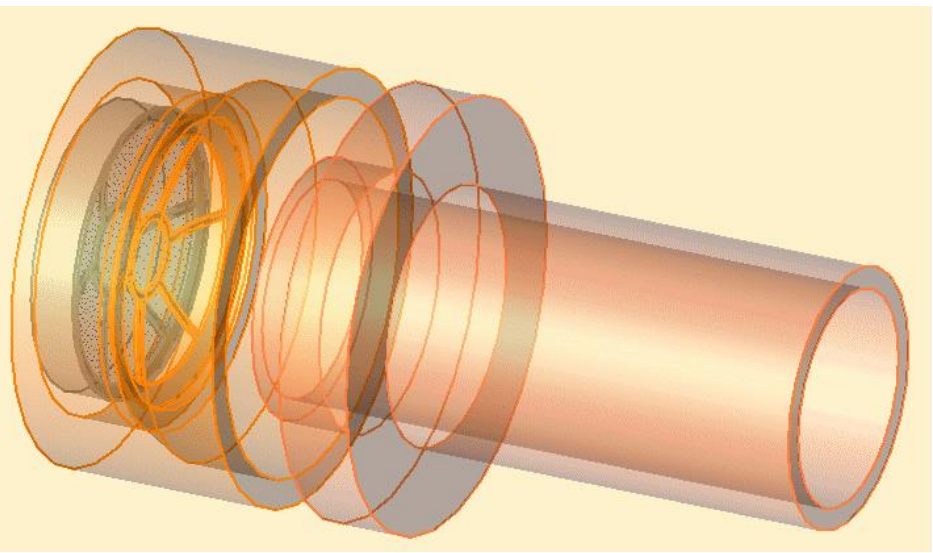
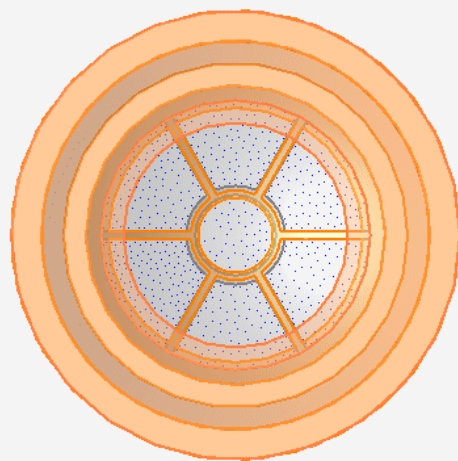
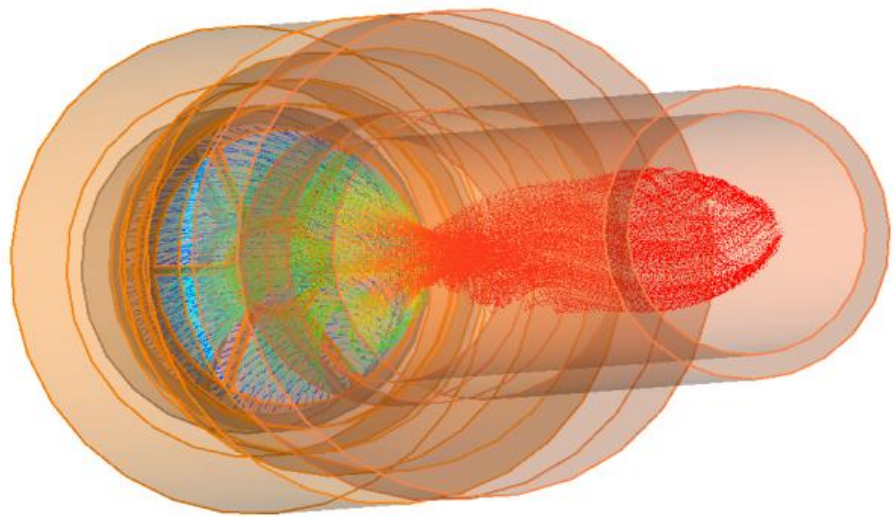






阴极电流: 324.2587 mA
 截获电流: 0.0000 mA
 注腰位置: 14.0504 mm (Z)
 注腰半径: 0.4070 mm
 95%注腰半径: 0.4029 mm





电子光学基本理论

行波管电子光学系统由**电子枪**，**磁聚焦系统**和**多级降压收集极**三部分组成，内容涉及电子注的产生、成形、维持和收集。没有电子枪产生电子注，没有聚焦系统维持一定截面形状的电子注，就无法产生能量交换和信号放大。而且，电子注的质量和参量从根本上决定了诸如效率、增益、工作稳定性和噪声特性这样一些行波管的重要参量。因此，电子光学系统的设计是行波管设计中的重要一环。

电子光学基本方程组的建立

电子光学基本方程的建立

- 微分形式的麦克斯韦方程组为：

$$\nabla \cdot \mathbf{D} = -\rho$$

$$\nabla \times \mathbf{E} = -\frac{\partial \mathbf{B}}{\partial t}$$

$$\nabla \times \mathbf{H} = \frac{\partial \mathbf{D}}{\partial t} + \mathbf{J}$$

$$\nabla \cdot \mathbf{B} = 0$$

电子光学基本方程的建立

- 采用稳态方式求解，引入如下假设：

1. 涉及的场为静态场；

2. 仅限于真空中。

- 则真空中静电场和静磁场的麦克斯韦方程变为：

$$\nabla \cdot \mathbf{D} = -\rho$$

$$\nabla \times \mathbf{E} = 0$$

$$\nabla \times \mathbf{H} = \mathbf{J}$$

$$\nabla \cdot \mathbf{B} = 0$$

电子光学基本方程的建立

- 强流电子光学基本方程由麦克斯韦方程、电磁场中电子运动方程和电流连续性方程三部分组成。

$$\left. \begin{aligned} \nabla^2 U &= \rho / \varepsilon_0 \\ \nabla \times \left(\frac{1}{\mu} \nabla \times \mathbf{A} \right) &= \mathbf{J} \\ \frac{d}{dt} (m\mathbf{v}) &= -e (\mathbf{E} + \mathbf{v} \times \mathbf{B}) \\ \nabla \cdot \mathbf{J} &= 0 \end{aligned} \right\}$$
$$\mathbf{J} = -\rho \mathbf{v}$$

数值求解方法

数值求解方法

- 在给定边界条件和初始条件下，对Maxwell方程组和Lorentz方程进行求解。

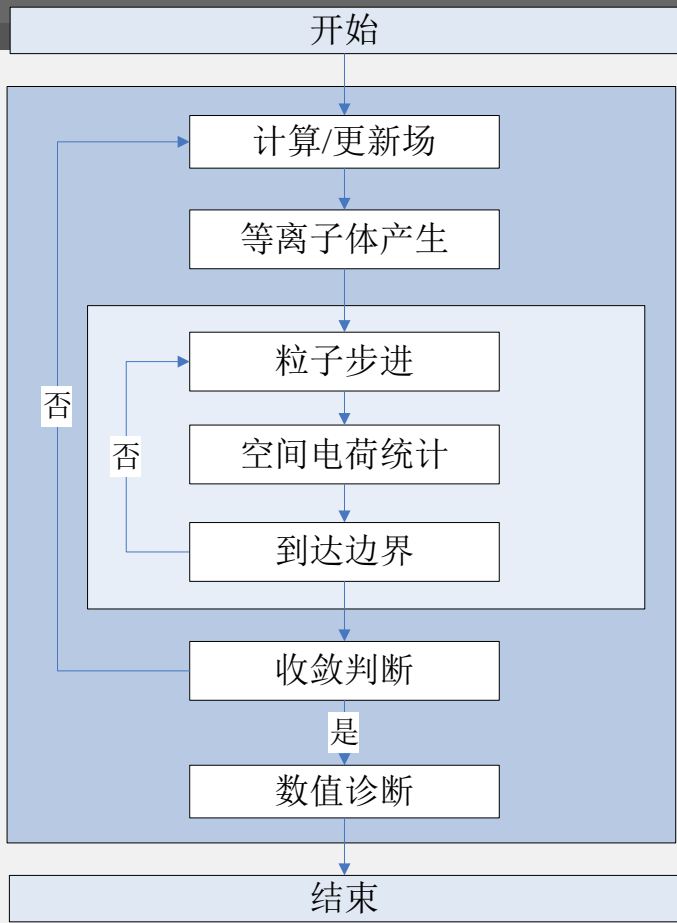
有限差分法 (Finite Difference Method, 简称FDM)

有限元法 (Finite Element Method, 简称FEM)

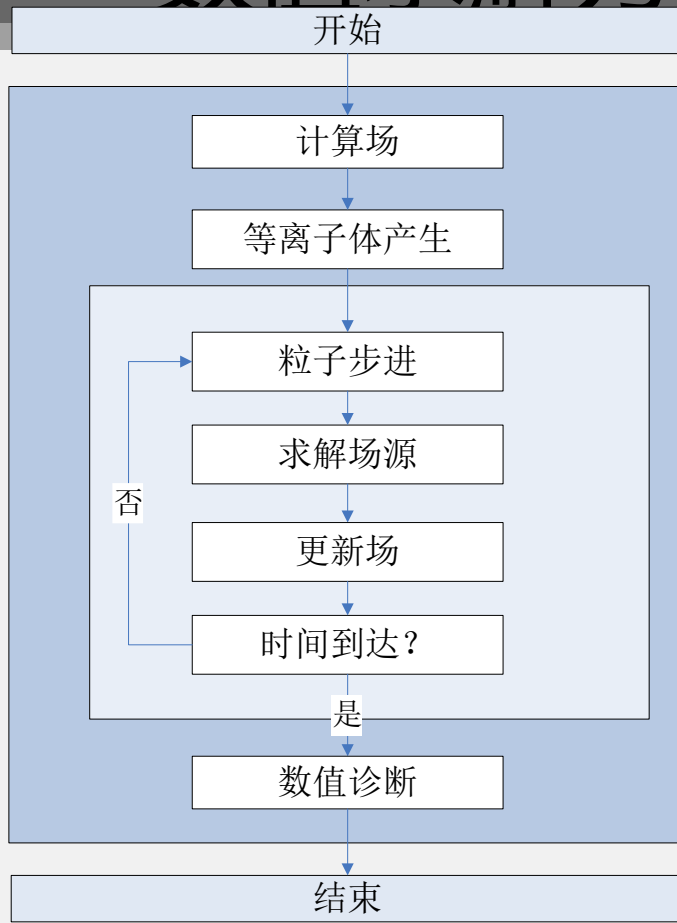
有限积分法 (Finite Integration Method, 简称FIM)



数值求解方法



静态求解程序流程图



时域求解程序流程图

- 有限差分法
- 有限元法
- 两种方法比较

- 有限差分法
- 有限元法
- 两种方法比较

有限差分法

有限差分法是以**差分原理**为基础的一种数值方法，它实质上是将电磁场连续域的问题变换为离散系统的问题来求解，也就是通过网格状离散化模型上各离散点的数值解来**逼近**连续域的真实解。有限差分法的应用范围很广，不但能求解均匀或不均匀线性媒质中的位场，而且还能求解非线性媒质中的场；它不仅能求解恒定场或准稳态场，还能求解时变场。在边值问题的数值方法中。使用有限差分算法的代表性软件有**MAGIC**。

有限差分法

- 19世纪末提出;
- 20世纪50年代用于数值分析;
- 简单直观、容易掌握。

有限差分法

- 一阶导数:

$$f'(x) = \frac{df}{dx}$$

- 应用差分，他可以近似的表示为:

$$\frac{df}{dx} \approx \frac{\Delta f}{\Delta x} = \frac{f(x+h) - f(x)}{h} \text{ (前向差分)}$$

$$\frac{df}{dx} \approx \frac{\Delta f}{\Delta x} = \frac{f(x) - f(x-h)}{h} \text{ (后向差分)}$$

$$\frac{df}{dx} \approx \frac{\Delta f}{\Delta x} = \frac{f(x+h) - f(x-h)}{2h} \text{ (中心差分)}$$

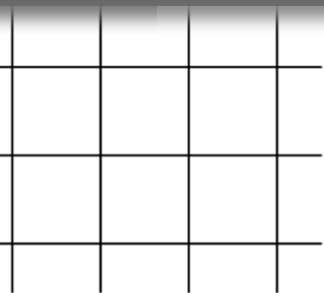
- 二阶导数:

$$\begin{aligned}\frac{d^2 f}{dx^2} &\approx \frac{1}{\Delta x} \left(\left. \frac{df}{dx} \right|_{x^+} - \left. \frac{df}{dx} \right|_{x^-} \right) \\ &\approx \frac{1}{h} \left[\frac{f(x+h) - f(x)}{h} - \frac{f(x) - f(x-h)}{h} \right] \\ &= \frac{f(x+h) - 2f(x) + f(x-h)}{h^2}\end{aligned}$$

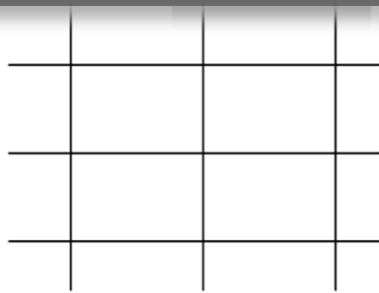
有限差分法

求解

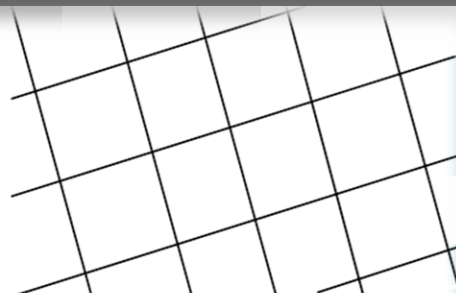
1) 采用 行四边形



正方形网格



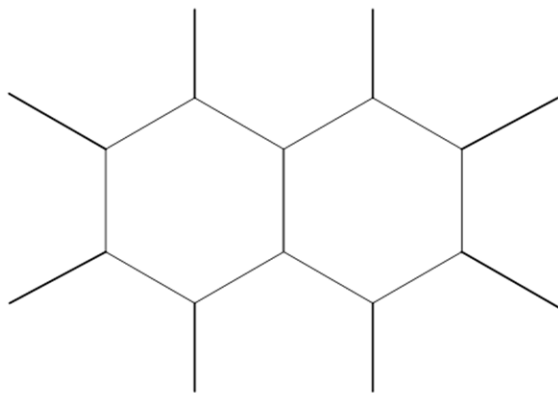
矩形网格



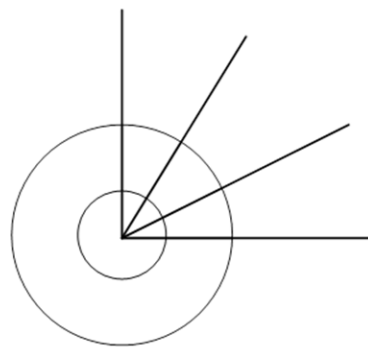
平行四边形网格

三角形、平

2) 基于 域内不同 分计算格



等角六边形网格

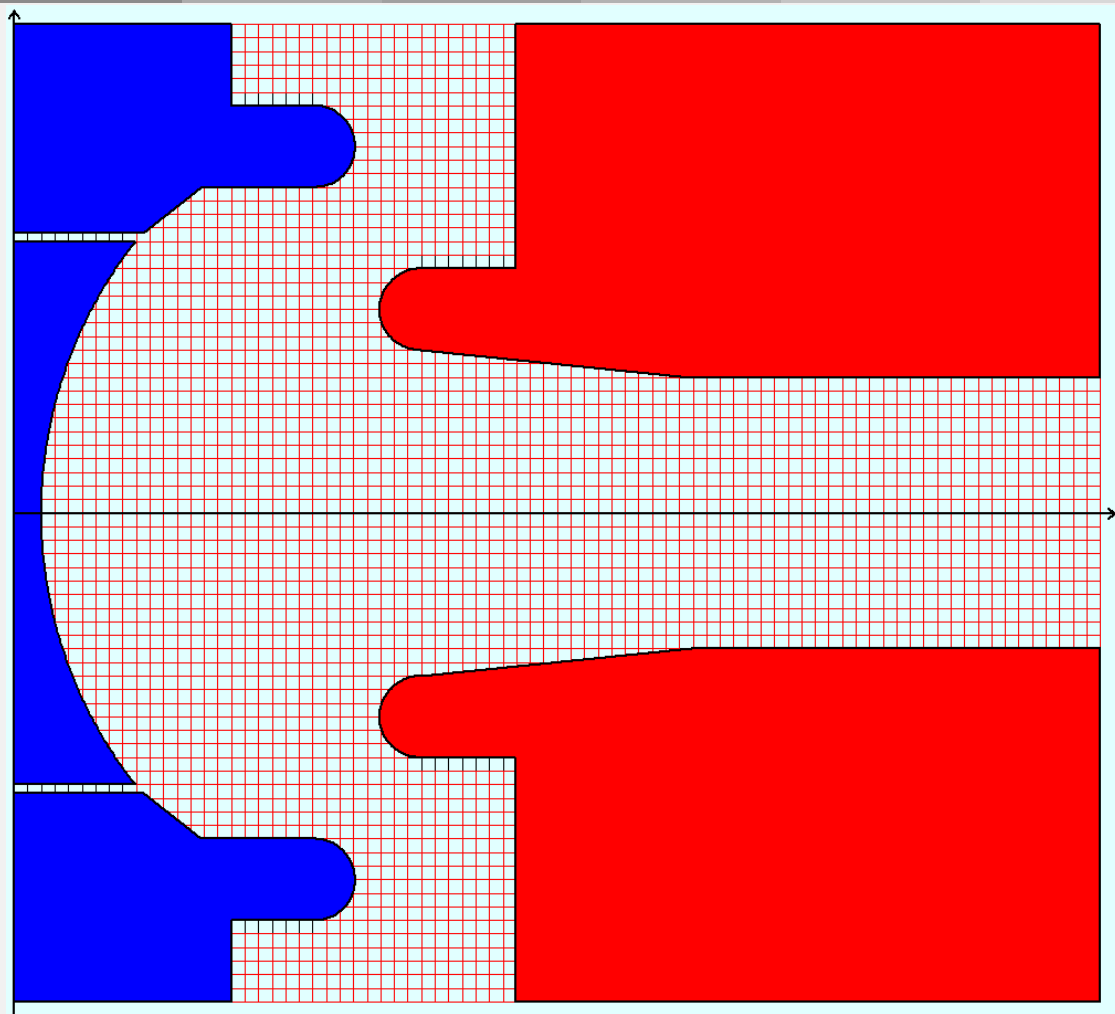


极坐标网格

也包括场
应的差

3) 编制

有限差分法

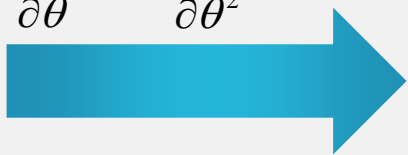


有限差分法

- 二维差分网格空间电位分布求解

$$\frac{\partial^2 U}{\partial z^2} + \frac{1}{r} \frac{\partial U}{\partial r} + \frac{\partial^2 U}{\partial r^2} + \frac{\partial^2 U}{\partial \theta^2} = \frac{\rho}{\varepsilon_0}$$

$$\frac{\partial U}{\partial \theta} = 0 \quad \frac{\partial^2 U}{\partial \theta^2} = 0$$



$$\frac{\partial^2 U}{\partial z^2} + \frac{1}{r} \frac{\partial U}{\partial r} + \frac{\partial^2 U}{\partial r^2} = \frac{\rho}{\varepsilon_0}$$

有限差分法

- 不等距网格

$$C_1 U_1 + C_2 U_2 + C_3 U_3 + C_4 U_4 - C_0 U_0 = \frac{\rho_0}{\varepsilon_0}$$

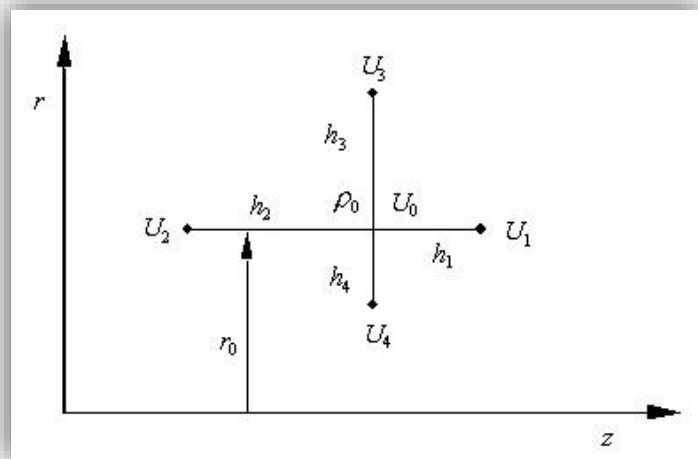
$$C_1 = \frac{2}{h_1(h_1 + h_2)}$$

$$C_2 = \frac{2}{h_2(h_1 + h_2)}$$

$$C_3 = \frac{2r_0 + h_4}{r_0 h_3(h_3 + h_4)}$$

$$C_4 = \frac{2r_0 - h_3}{r_0 h_4(h_3 + h_4)}$$

$$C_0 = \left(\frac{2}{h_1 h_2} + \frac{2}{h_3 h_4} - \frac{h_3 - h_4}{r_0 h_3 h_4} \right)$$



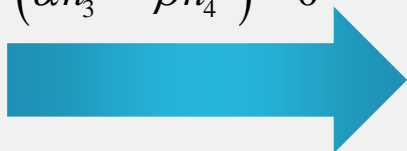
有限差分法

- 不等距网格

如果寻求较精确的差分网格，可引入待定常数 α , β ，由 U_1 和 U_2 的泰勒展开，构造关系式：

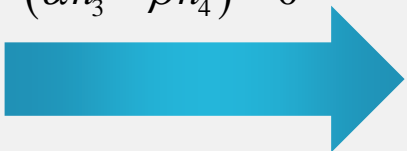
$$\alpha(U_3 - U_0) + \beta(U_4 - U_0) = \left(\frac{\partial U}{\partial r} \right)_0 (\alpha h_3 - \beta h_4) + \frac{1}{2} \left(\frac{\partial^2 U}{\partial r^2} \right) (\alpha h_3^2 - \beta h_4^2) + \dots$$

$$(\alpha h_3^2 - \beta h_4^2) = 0$$



$$\frac{\partial U}{\partial r} \approx \frac{h_4^2 (U_3 - U_0) - h_3^2 (U_4 - U_0)}{h_3 h_4 (h_3 + h_4)}$$

$$(\alpha h_3 - \beta h_4) = 0$$



$$\frac{\partial^2 U}{\partial r^2} \approx 2 \frac{h_4 (U_3 - U_0) + h_3 (U_4 - U_0)}{h_3 h_4 (h_3 + h_4)}$$

$$\frac{\partial^2 U}{\partial z^2} \approx 2 \frac{h_2 (U_1 - U_0) + h_1 (U_2 - U_0)}{h_1 h_2 (h_1 + h_2)}$$

有限差分法

- 不等距网格——轴上

$$\lim_{r \rightarrow 0} \frac{\partial U}{\partial r} \cdot \frac{1}{r} = \frac{\partial^2 U}{\partial r^2} \bigg|_{r=0} \quad \longrightarrow \quad \frac{\partial^2 U}{\partial z^2} + 2 \frac{\partial^2 U}{\partial r^2} = \frac{\rho}{\varepsilon_0}$$

$$h_3 = h_4 \quad U_3 = U_4$$

$$C_1 = \frac{2}{h_1(h_1 + h_2)}$$

$$C_2 = \frac{2}{h_2(h_1 + h_2)}$$

$$C_3 = \frac{4}{h_3^2}$$

$$C_4 = 0$$

$$C_0 = \frac{2}{h_1 h_2} + \frac{4}{h_3^2}$$

有限差分法

- 等距网格——非轴上

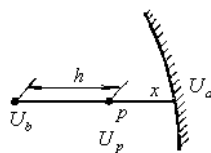
$$U_1 + U_2 + \left(1 + \frac{h}{2r_0}\right)U_3 + \left(1 - \frac{h}{2r_0}\right)U_4 - 4U_0 - \frac{h^2 \rho_0}{\varepsilon_0} = 0$$

- 等距网格——轴上

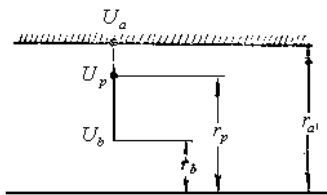
$$U_1 + U_2 + 2U_3 - 4U_0 - \frac{h^2 \rho_0}{\varepsilon_0} = 0$$

有限差分法

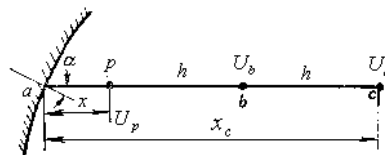
● 边界条件



(a) 一般轴向边界点



(b) 一般径向边界点



(c) 阴极附近边界点

直接转移法

$$U_p = U_a$$

函数插值法

$$U_p = U_a + \frac{U_b - U_a}{h + x} x$$

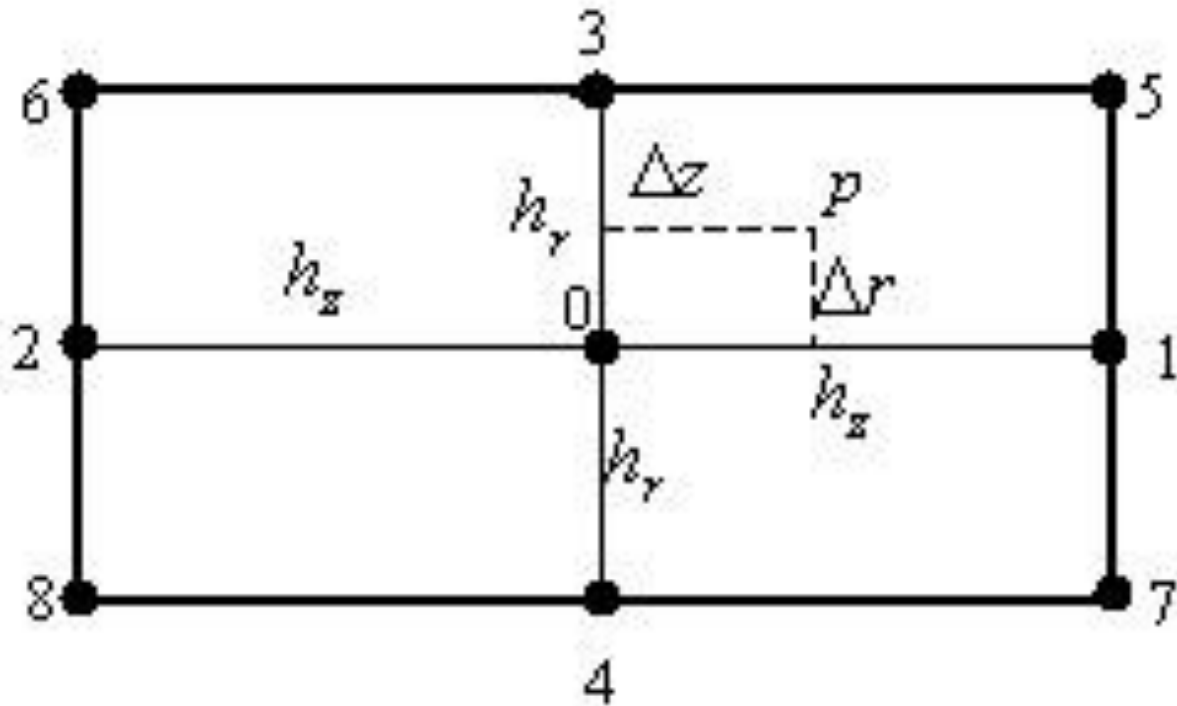
$$U_p = U_b + (U_a - U_b) \frac{\ln(r_p/r_b)}{\ln(r_a/r_b)}$$

差分公式法

直接采用不等距五点差分公式计算边界点电位。

有限差分法

- 二维差分网格电场求解：九点插值公式计算电场分布



有限差分法

- 泰勒 (Taylor) 九点展开公式:

$$U_p = U_0 + a_1 \Delta z + b_1 \Delta r + a_2 \Delta z^2 + b_2 \Delta r^2 + c_1 \Delta z \Delta r$$

$$\left. \frac{\partial U}{\partial z} \right|_p = a_1 + 2a_2 \Delta z + c_1 \Delta r \quad \left. \frac{\partial U}{\partial r} \right|_p = b_1 + 2b_2 \Delta r + c_1 \Delta z$$

$$a_1 = \frac{U_1 - U_2}{2h_z}$$

$$a_2 = \frac{U_1 - 2U_0 + U_2}{2h_z^2}$$

$$b_1 = \frac{U_3 - U_4}{2h_r}$$

$$b_2 = \frac{U_3 - 2U_0 + U_4}{2h_r^2}$$

$$c_1 = \frac{U_5 - U_6 - U_7 + U_8}{4h_z h_r}$$

有限差分法

- 泰勒 (Taylor) 九点展开公式:

$$U_p = U_0 + a_1 \Delta z + b_1 \Delta r + a_2 \Delta z^2 + b_2 \Delta r^2 + c_1 \Delta z \Delta r$$

$$\left. \frac{\partial U}{\partial z} \right|_p = a_1 + 2a_2 \Delta z + c_1 \Delta r \quad \left. \frac{\partial U}{\partial r} \right|_p = b_1 + 2b_2 \Delta r + c_1 \Delta z$$

$$a_1 = \frac{U_1 - U_2}{2h_z}$$

$$a_2 = \frac{U_1 - 2U_0 + U_2}{2h_z^2}$$

$$b_1 = \frac{U_3 - U_4}{2h_r}$$

$$b_2 = \frac{U_3 - 2U_0 + U_4}{2h_r^2}$$

$$c_1 = \frac{U_5 - U_6 - U_7 + U_8}{4h_z h_r}$$

有限差分法

- 拉各朗日 (Lagrange) 九点插值公式:

$$U_p = U_0 + a_1 \Delta z + b_1 \Delta r + a_2 \Delta z^2 + b_2 \Delta r^2 + c_1 \Delta z \Delta r + c_2 \Delta z^2 \Delta r + c_3 \Delta z \Delta r^2 + c_4 \Delta z^2 \Delta r^2$$

$$\left. \frac{\partial U}{\partial z} \right|_p = a_1 + 2a_2 \Delta z + c_1 \Delta r + 2c_2 \Delta z \Delta r + c_3 \Delta r^2 + 2c_4 \Delta z \Delta r^2$$

$$\left. \frac{\partial U}{\partial r} \right|_p = b_1 + 2b_2 \Delta r + c_1 \Delta z + c_2 \Delta z^2 + 2c_3 \Delta z \Delta r + 2c_4 \Delta z^2 \Delta r$$

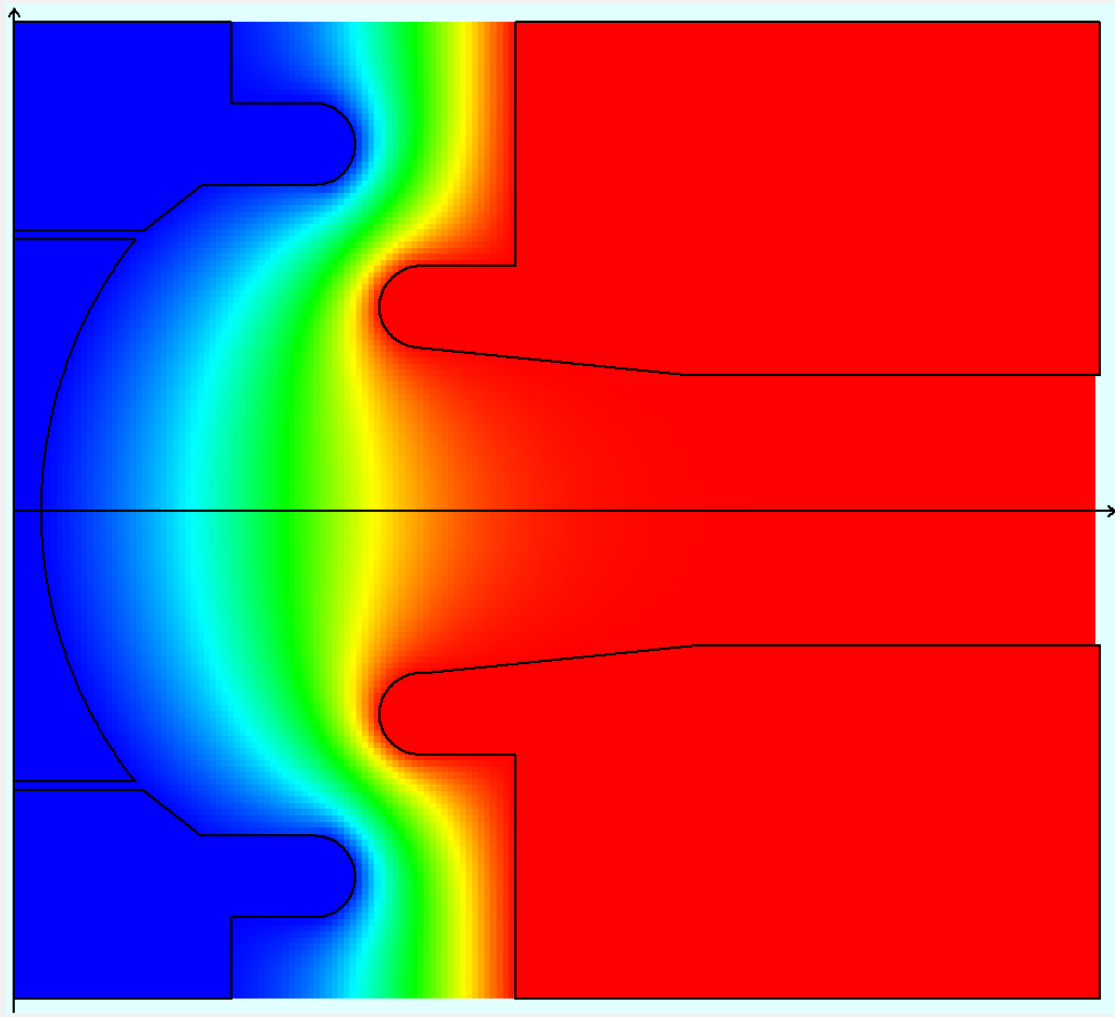
式中的 a_1 、 b_1 、 a_2 、 b_2 和 c_1 与泰勒九点展开式相同。其余参数为:

$$c_2 = \frac{U_5 - U_7 + U_6 - U_8 - 2(U_3 - U_4)}{4h_z^2 h_r}$$

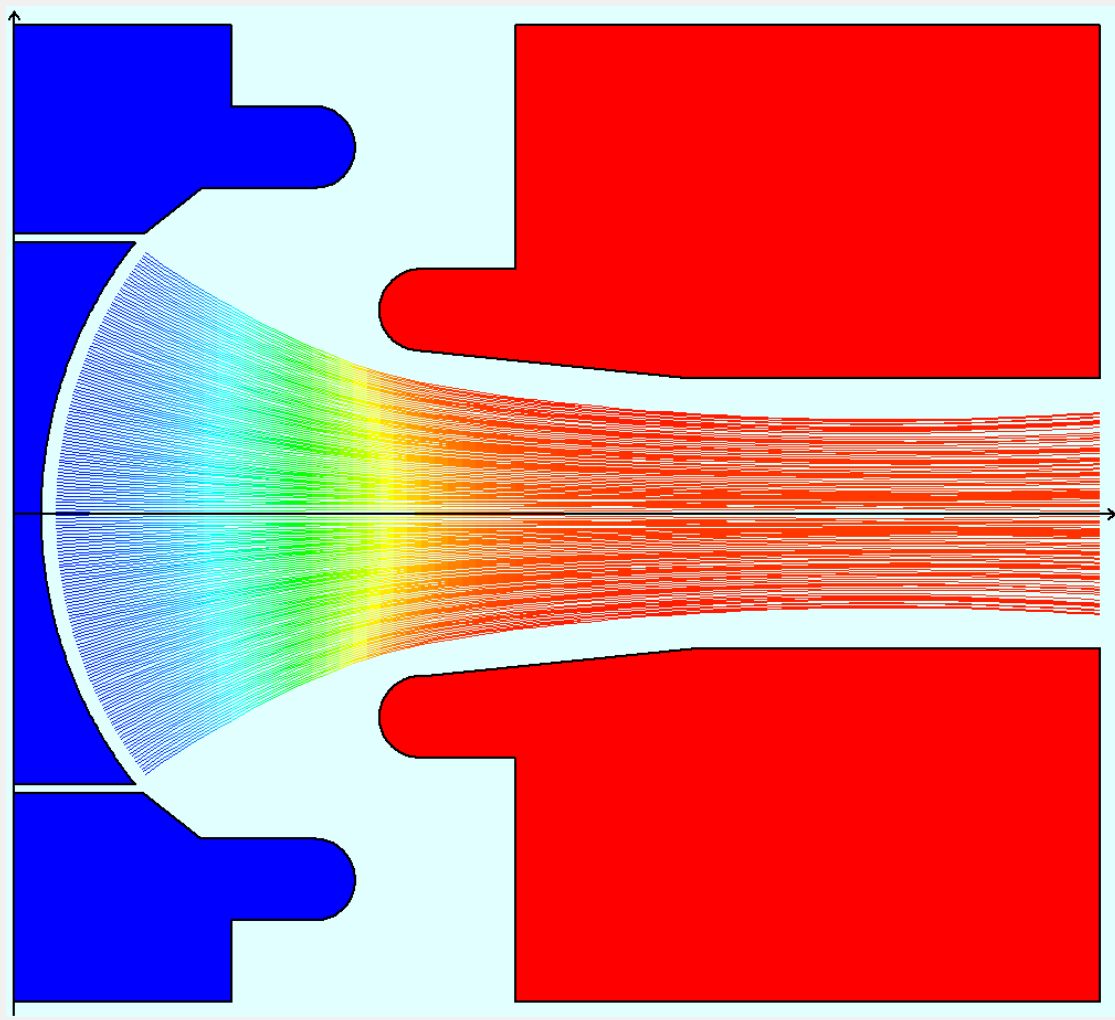
$$c_3 = \frac{U_5 + U_7 - U_6 - U_8 - 2(U_1 - U_2)}{4h_r^2 h_z}$$

$$c_4 = \frac{4U_0 - 2(U_1 + U_2 + U_3 + U_4) + U_5 + U_7 + U_6 + U_8}{4h_z^2 h_r^2}$$

有限差分法



有限差分法



有限差分法

- 网格结构简单
- 算法容易实现
- 易于跟踪粒子运动

- 计算资源耗费大
- 计算速度慢
- 复杂边界匹配不精确

- 有限差分法
- **有限元法**
- 两种方法比较

有限元法

有限元方法就是以**变分原理**和**剖分逼近**为基础，发展了传统的里茨 - 伽辽金（Ritz-Galerkin）方法，并融会了差分法的优点的数值计算方法。它将求解域看成是由许多称为有限元的小的互连子域组成，对每一单元假定一个合适的(较简单的)近似解，然后推导求解这个域总的满足条件，从而得到问题的解。使用有限元算法的代表性软件有**HFSS**。

有限元法

- 20世纪40年代提出（力学领域）；
- 50年代用于飞机设计；
- 60年代末70年代初，应用于电磁场工程领域。

- 求解步骤：

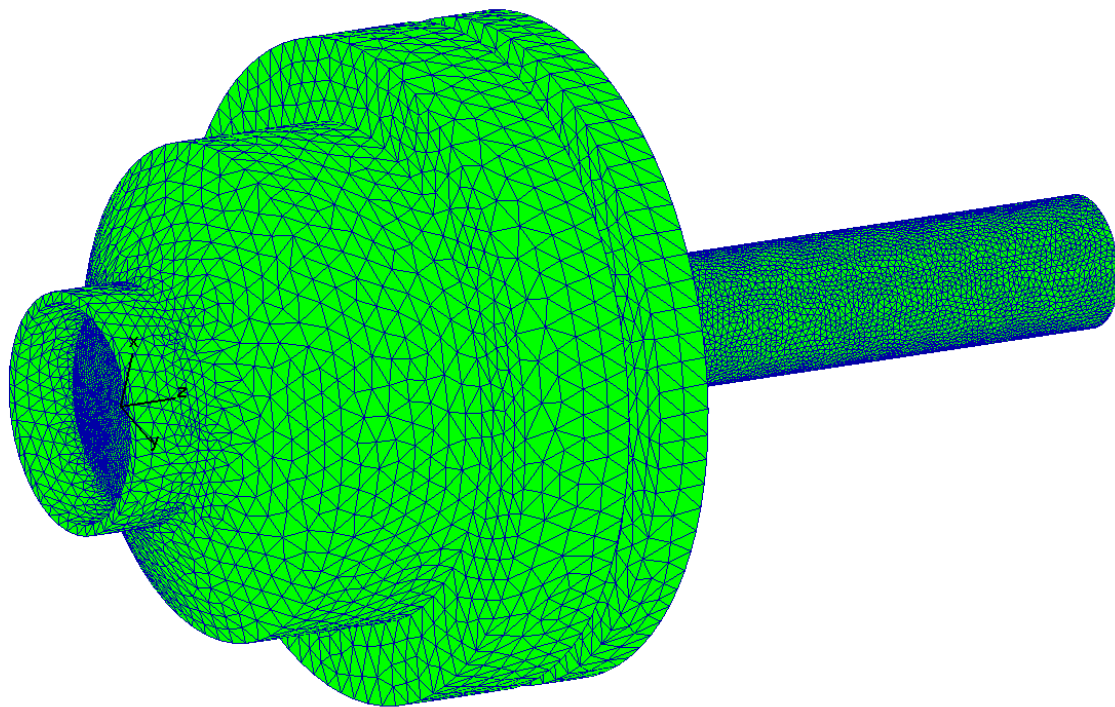
1) 区域的离散或子域划分；

2) 有限元分析，选择插值函数；

3) 方程组的建立，边界条件强加；

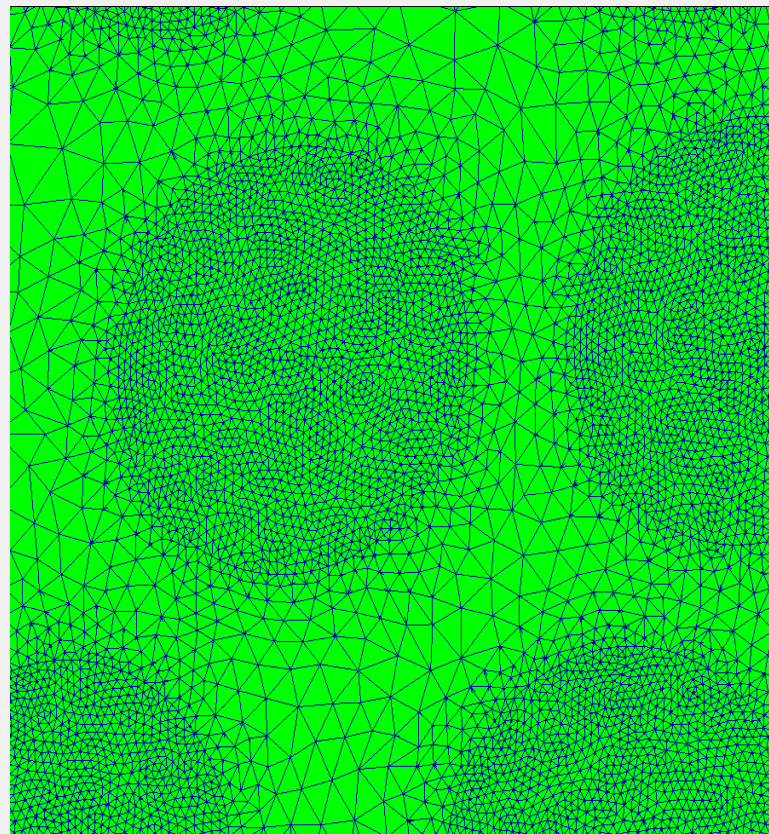
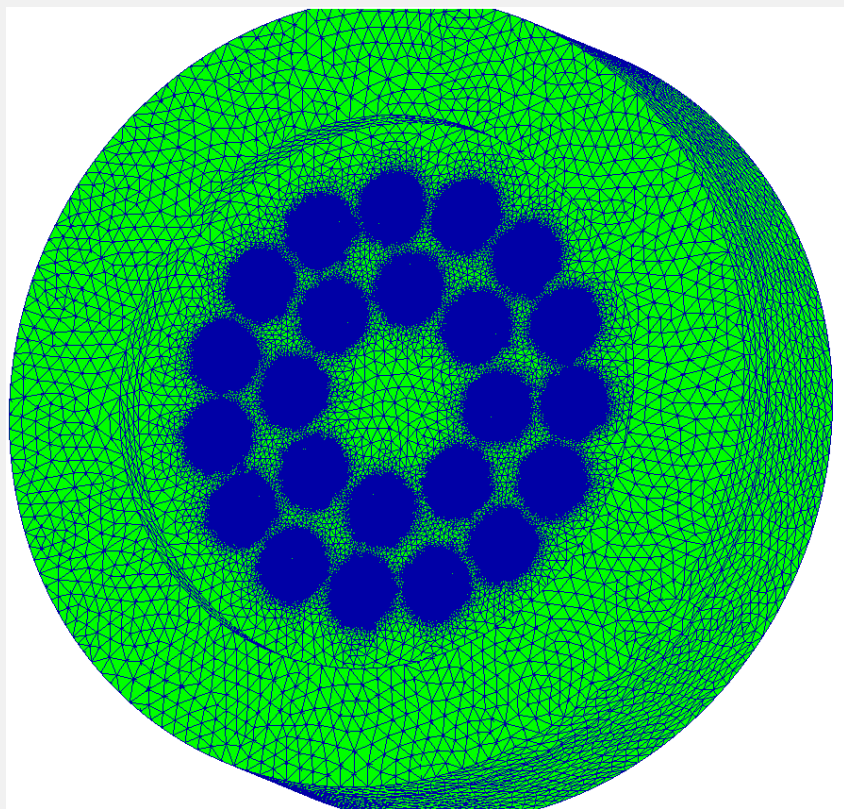
4) 方程组的求解。

- 区域的离散或子域划分：



有限元法

- 区域的离散或子域划分：



- 有限元分析，选择插值函数：

$$-\frac{\partial}{\partial x}\left(\alpha_x \frac{\partial \Phi}{\partial x}\right) - \frac{\partial}{\partial y}\left(\alpha_y \frac{\partial \Phi}{\partial y}\right) - \frac{\partial}{\partial z}\left(\alpha_z \frac{\partial \Phi}{\partial z}\right) + \beta \Phi = f \quad (x, y, z) \in V$$

$$\begin{cases} \delta F(\Phi) = 0 \\ \Phi = p \quad \text{在 } S_1 \text{ 上} \end{cases}$$

$$\begin{aligned} F(\Phi) = & \frac{1}{2} \iiint_V \left[\alpha_x \left(\frac{\partial \Phi}{\partial x} \right)^2 + \alpha_y \left(\frac{\partial \Phi}{\partial y} \right)^2 + \alpha_z \left(\frac{\partial \Phi}{\partial z} \right)^2 + \beta \Phi^2 \right] dV \\ & + \iint_{S_2} \left(\frac{\gamma}{2} \Phi^2 - q \Phi \right) dS - \iiint_V f \Phi dV \end{aligned}$$

- 有限元分析，选择插值函数：

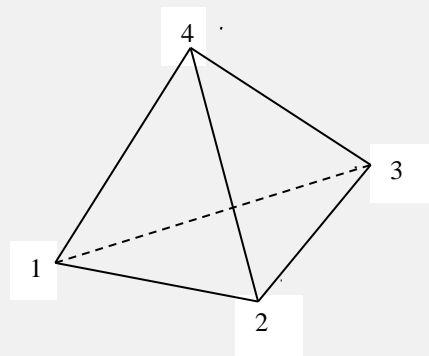
$$\Phi^e(x, y, z) = a^e + b^e x + c^e y + d^e z$$

$$\Phi_j^e(x, y, z) = a^e + b^e x_j^e + c^e y_j^e + d^e z_j^e$$

$$a^e = \frac{1}{6V^e} \begin{vmatrix} \Phi_1^e & \Phi_2^e & \Phi_3^e & \Phi_4^e \\ x_1^e & x_2^e & x_3^e & x_4^e \\ y_1^e & y_2^e & y_3^e & y_4^e \\ z_1^e & z_2^e & z_3^e & z_4^e \end{vmatrix} = \frac{1}{6V^e} (a_1^e \Phi_1^e + a_2^e \Phi_2^e + a_3^e \Phi_3^e + a_4^e \Phi_4^e)$$

$$a_1^e = \begin{vmatrix} x_2^e & x_3^e & x_4^e \\ y_2^e & y_3^e & y_4^e \\ z_2^e & z_3^e & z_4^e \end{vmatrix}$$

$$V^e = \frac{1}{6} \begin{vmatrix} 1 & 1 & 1 & 1 \\ x_1^e & x_2^e & x_3^e & x_4^e \\ y_1^e & y_2^e & y_3^e & y_4^e \\ z_1^e & z_2^e & z_3^e & z_4^e \end{vmatrix}$$



- 方程组的建立，边界条件强加：

$$\Phi^e(x, y, z) = \sum_{j=1}^4 N_j^e(x, y, z) \Phi_j^e \quad N_j^e(x, y, z) = \frac{1}{6V_e} (a_j^e + b_j^e x + c_j^e y + d_j^e z)$$

$$\frac{\partial F^e}{\partial \Phi_i^e} = \sum_{j=1}^4 \Phi_j^e \iiint_{V^e} \left(\alpha_x \frac{\partial N_i^e}{\partial x} \frac{\partial N_j^e}{\partial x} + \alpha_y \frac{\partial N_i^e}{\partial y} \frac{\partial N_j^e}{\partial y} + \alpha_z \frac{\partial N_i^e}{\partial z} \frac{\partial N_j^e}{\partial z} + \beta N_i^e N_j^e \right) \iiint_{V^e} f N_i^e dV \quad i = 1, 2, 3, 4$$

$$\left\{ \frac{\partial F^e}{\partial \Phi^e} \right\} = [K^e] \{ \Phi^e \} - \{ b^e \} \quad \longrightarrow \quad \sum_{e=1}^M \left\{ \frac{\partial F^e}{\partial \Phi^e} \right\} = \sum_{e=1}^M ([K^e] \{ \Phi^e \} - \{ b^e \}) = \{ 0 \}$$

$$K_{ij}^e = \frac{1}{36V_e} (\alpha_x^e b_i^e b_j^e + \alpha_y^e c_i^e c_j^e + \alpha_z^e d_i^e d_j^e) + \frac{V^e}{20} \beta^e (1 + \delta_{ij}) \quad b_i^e = \frac{V^e}{4} f^e$$

有限元法

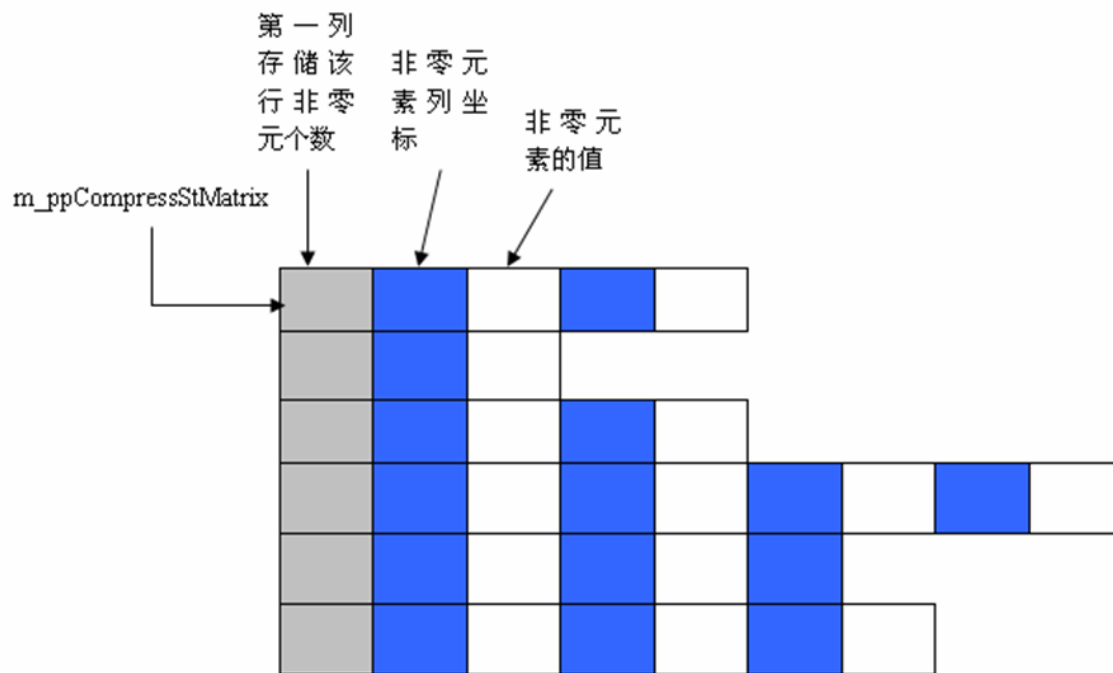
- 三维有限元网格电场求解：

对于一些实际的电子光学系统，需要比较密集的网格来实现复杂边界的拟合。而随着网格数的增加，矩阵的阶数快速增加，可以达到几千、几万、甚至是**上百万阶**。而对一个 N 阶矩阵，为所有 $N \times N$ 个元素分配空间，在物理上是不可能的。即使可以分配这么大的空间，它也是极为低效的。

可以证明刚度矩阵是**大型稀疏对称矩阵**，因此我们只需要保存**上三角**的非零元素即可。如下图所示，灰色框内保存该行上三角的非零元个数，蓝色框保存该非零元的列坐标，紧接其后保存该非零元的值。由此保存可以方便、快速的进行该矩阵与向量的乘法操作。

有限元法

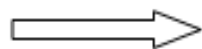
如下图所示，灰色框内保存该行上三角的非零元个数，蓝色框保存该非零元的列坐标，紧接其后保存该非零元的值。由此保存可以方便、快速的进行该矩阵与向量的乘法操作。



有限元法

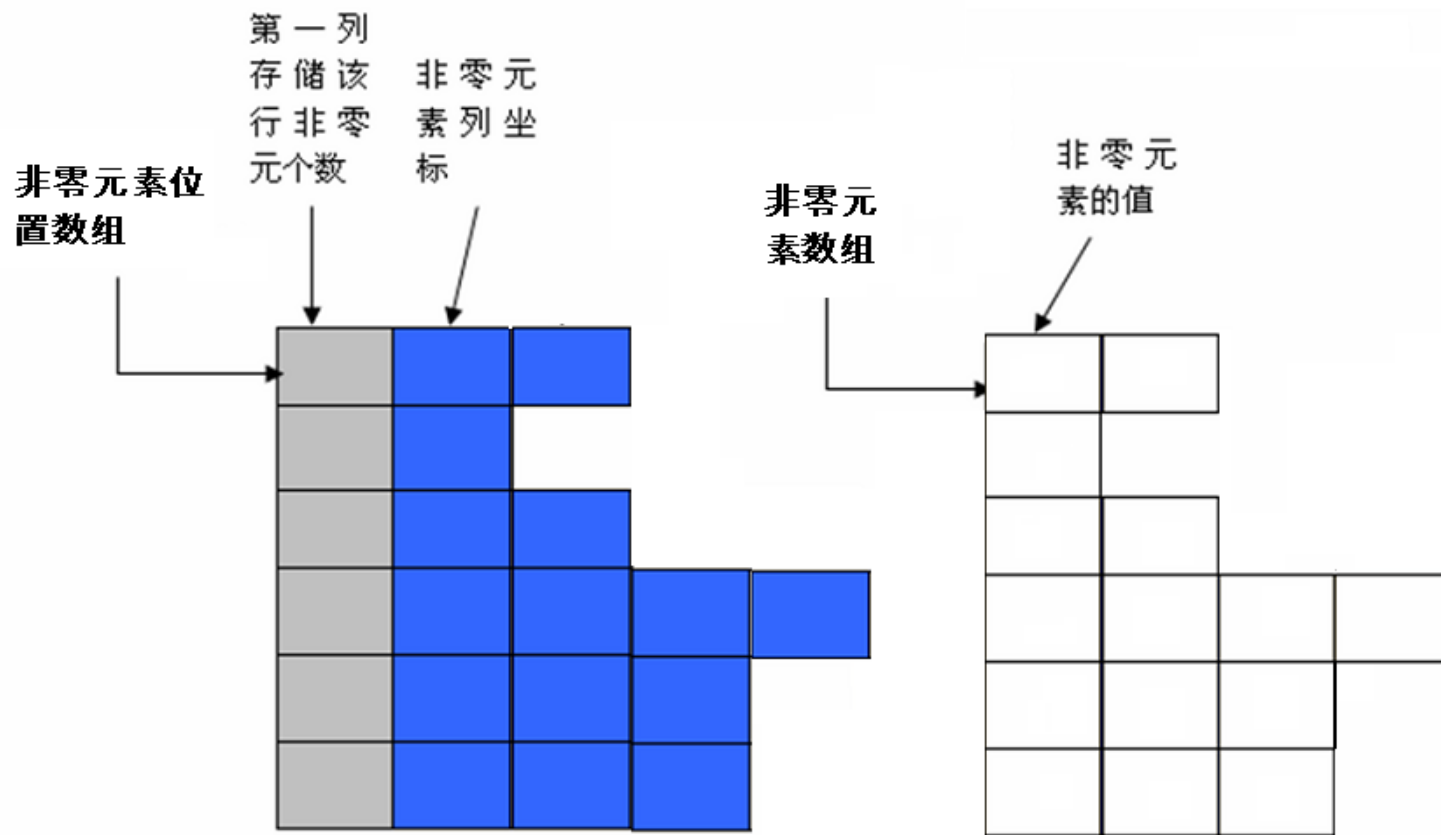
如下稀疏矩阵:

$$\begin{bmatrix}
 1 & 0 & 0 & 3 & 4 & 0 & 0 & 0 \\
 0 & 5 & 0 & 0 & 6 & 0 & 0 & 0 \\
 0 & 0 & 8 & 0 & 0 & 0 & 0 & 0 \\
 3 & 0 & 0 & 45 & 0 & 0 & 2 & 0 \\
 0 & 6 & 0 & 0 & 4 & 0 & 0 & 0 \\
 0 & 0 & 0 & 0 & 0 & 56 & 0 & 4 \\
 0 & 0 & 0 & 2 & 0 & 0 & 4 & 0 \\
 0 & 0 & 0 & 0 & 0 & 4 & 0 & 2
 \end{bmatrix}$$



3	1	1	4	3	4	4
2	2	5	5	6		
1	3	8				
2	4	45	7	2		
1	5	4				
1	6	56				
1	7	4				
1	8	2				

有限元法



- 方程组的求解：

$$\mathbf{E} = -\nabla\Phi$$

$$\mathbf{E}^e = -\frac{1}{6V^e} \sum_{j=1}^4 (b_j^e \hat{\mathbf{x}} + c_j^e \hat{\mathbf{y}} + d_j^e \hat{\mathbf{z}}) \Phi_j^e$$

它是一个**常矢量**。也就是说采用线性四面体单元时，网格单元内的电场处处相等。

● 方程组的求解：

共轭梯度法：

```
k = 0
r0 = b - Ax
while(rk ≠ 0)
    k = k + 1
    if(k = 1)
        p1 = r0
    else
        βk = rk-1Trk-1 / rk-2Trk-2
        pk = rk-1 + βkpk-1
    end
    αk = rk-1Trk-1 / pkTApk
    xk = xk-1 + αkpk
    rk = rk-1 - αkApk
end
x = xk
```

迭代次数

余量

搜索向量

收敛系数

- 方程组的求解：

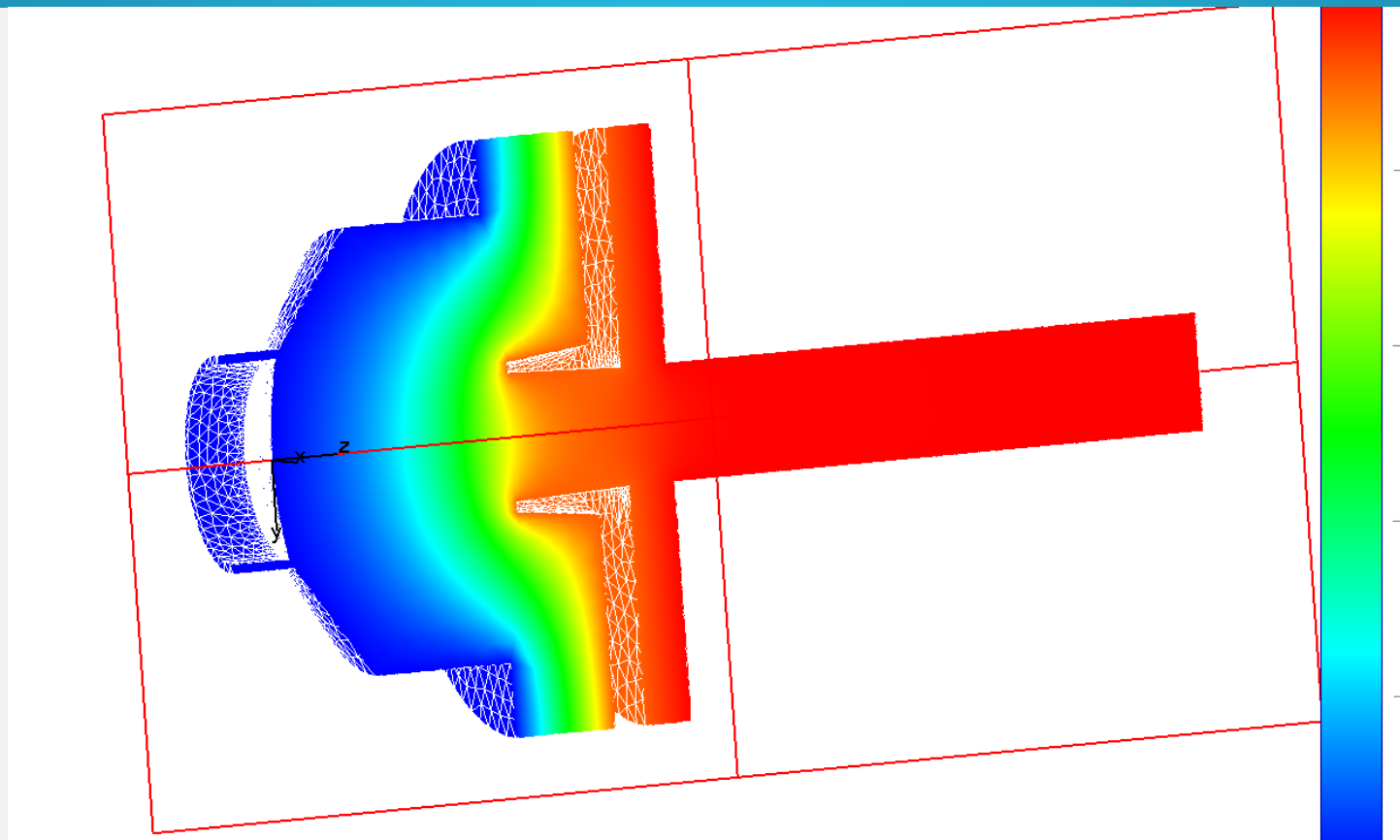
$$\mathbf{E} = -\nabla\Phi$$

$$\mathbf{E}^e = -\frac{1}{6V^e} \sum_{j=1}^4 (b_j^e \hat{\mathbf{x}} + c_j^e \hat{\mathbf{y}} + d_j^e \hat{\mathbf{z}}) \Phi_j^e$$

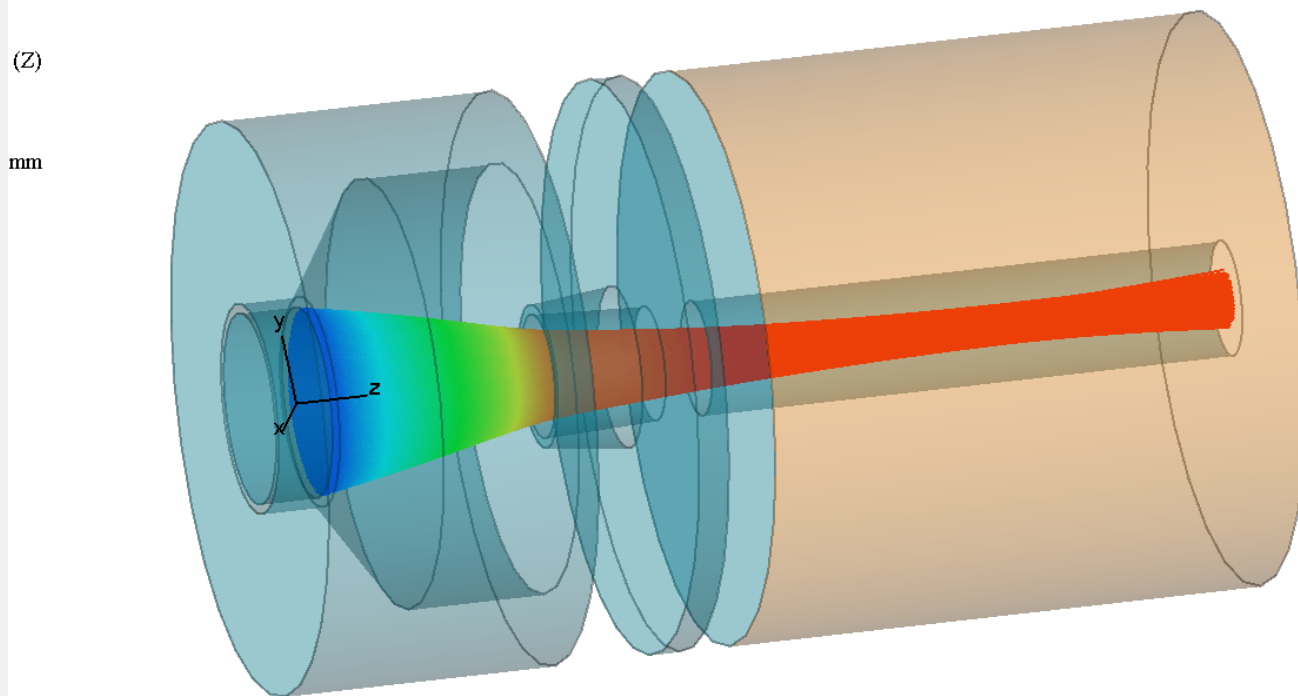
它是一个**常矢量**。也就是说采用线性四面体单元时，网格单元内的电场处处相等。

有限元法

- 电场求解：



- 轨迹求解：



有限元法

- 边界匹配准确，易于实现局部加密
- 求解速度快
- 通用性强，具有较高的精度
- 资源相对较多

- 区域离散过程复杂
- 求解公式推导繁琐
- 不易跟踪粒子运动

- 有限差分法
- 有限元法
- **两种方法比较**

两种方法比较

有限差分法

- 网格结构简单
- 算法容易实现
- 易于跟踪粒子运动

- 计算资源耗费大
- 计算速度慢
- 复杂边界匹配不精确

有限元法

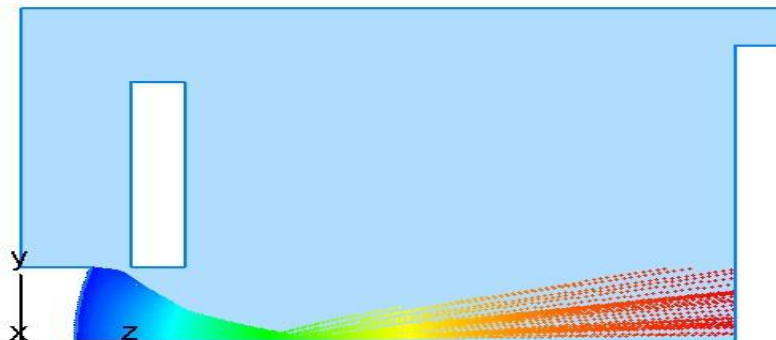
- 边界匹配准确，易于实现局部加密
- 求解速度快
- 通用性强，具有较高的精度
- 资源相对较多

- 区域离散过程复杂
- 求解公式推导繁琐
- 不易跟踪粒子运动

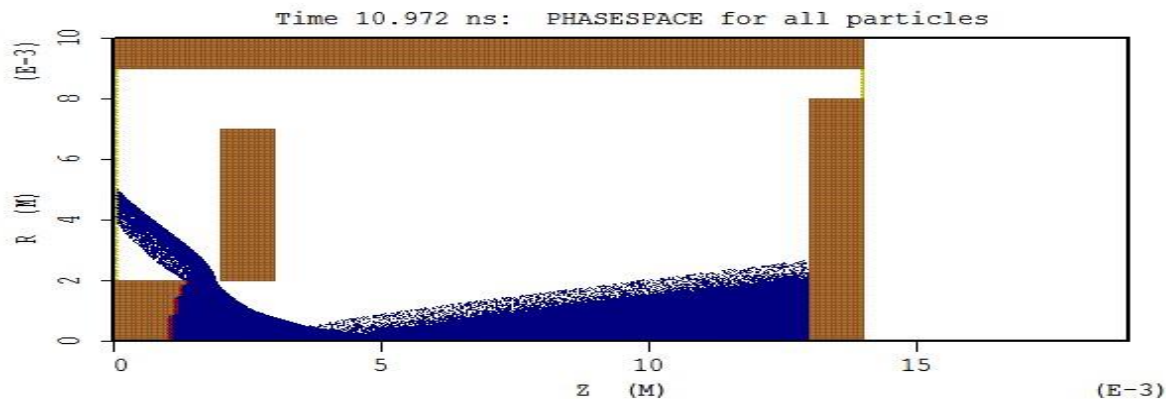
两种方法比较

计算的时间步数: 500
时间步长: $3.196069\text{e-}011$ s
总时间: $1.598034\text{e-}008$ s
收集极电流: $10.6722\text{ }\mu\text{A}$
宏粒子总数: 19038

MTSS

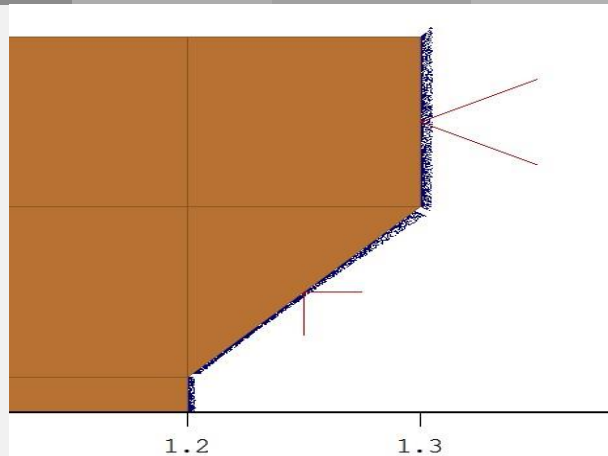


MAGIC

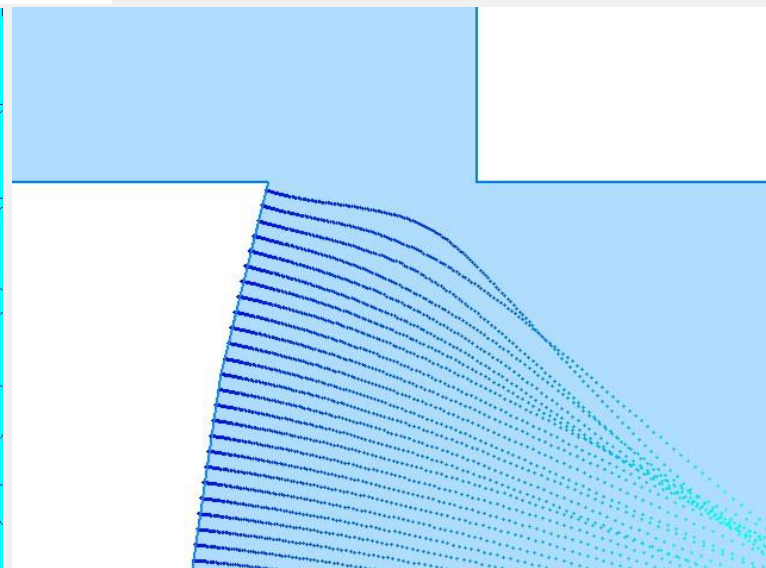
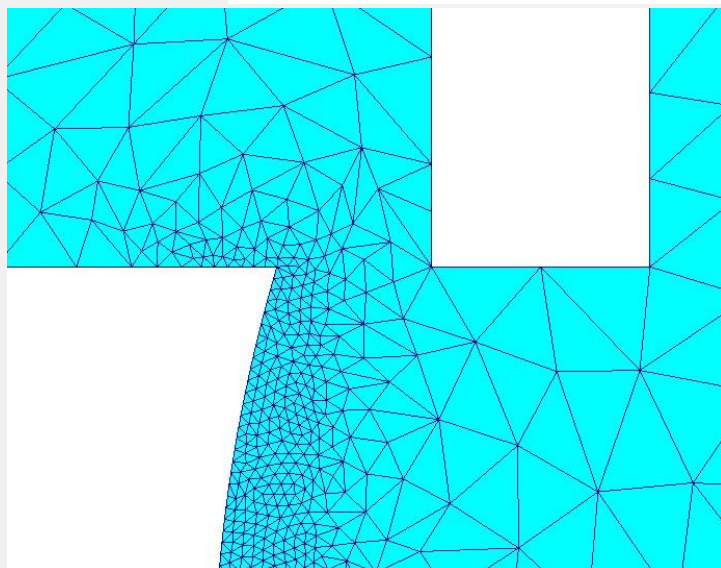


两种方法比较

MAGIC



MTSS



- 电子运动方程
- 阴极热电子发射
- 二次电子发射

- 电子运动方程
- 阴极热电子发射
- 二次电子发射

电子运动方程

- 圆柱坐标系下，考虑相对论效应时的电子运动方程：

$$\ddot{z} = -\frac{\eta}{\gamma} \left[\left(1 - \frac{\dot{z}^2}{c^2} \right) E_z - \frac{\dot{r}\dot{z}}{c^2} E_r - \frac{r\dot{\theta}\dot{z}}{c^2} E_\theta + \dot{r}B_\theta - r\dot{\theta}B_r \right]$$

$$\ddot{r} = -\frac{\eta}{\gamma} \left[\left(1 - \frac{\dot{r}^2}{c^2} \right) E_r - \frac{\dot{r}\dot{z}}{c^2} E_z - \frac{r\dot{r}\dot{\theta}}{c^2} E_\theta + r\dot{\theta}B_z - \dot{z}B_\theta \right] + r\dot{\theta}^2$$

$$\ddot{\theta} = -\frac{\eta}{\gamma} \left[\left(\frac{1}{r} - \frac{r\dot{\theta}^2}{c^2} \right) E_\theta - \frac{\dot{\theta}\dot{z}}{c^2} E_z - \frac{\dot{r}\dot{\theta}}{c^2} E_r + \frac{\dot{z}}{r} B_r - \frac{\dot{r}}{r} B_z \right] - \frac{2\dot{r}\dot{\theta}}{r}$$

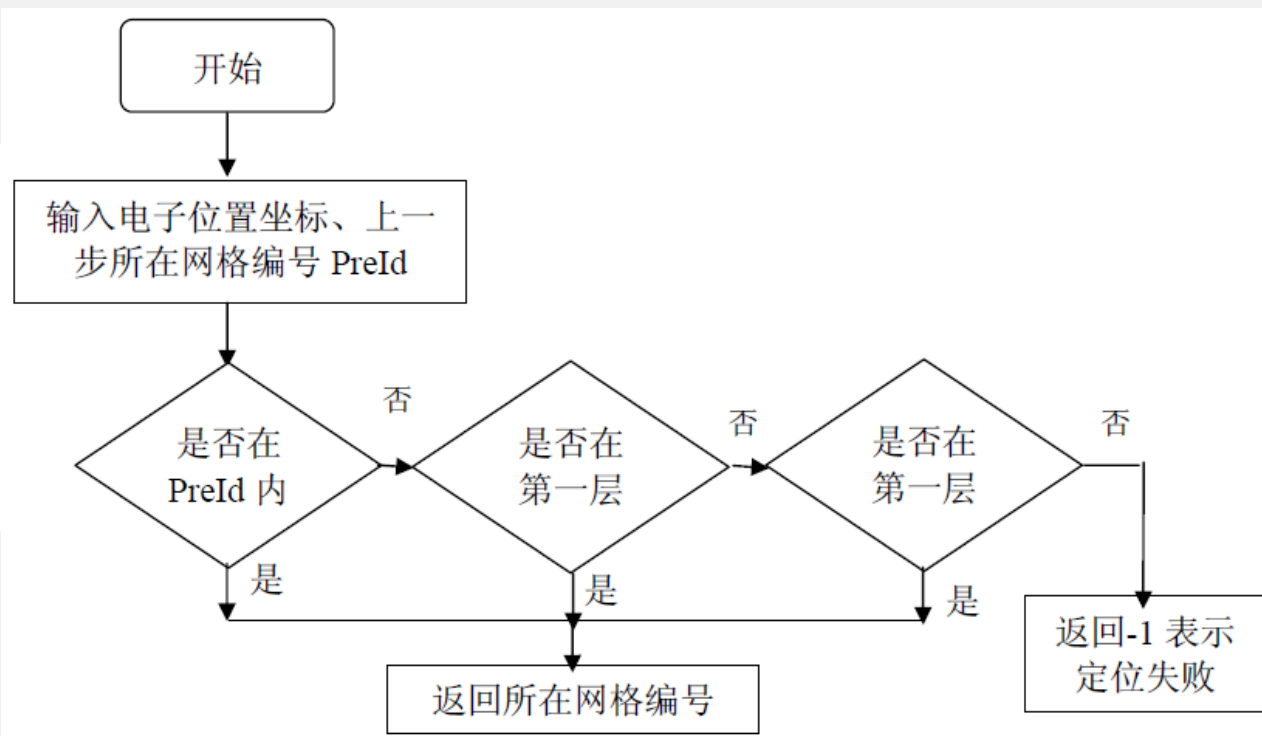
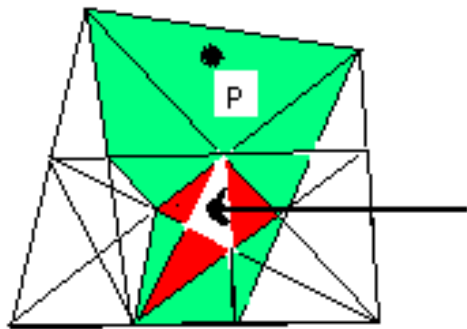
电子运动方程

- 笛卡尔坐标系下，考虑相对论效应时的电子运动方程：

$$\begin{cases} \ddot{x} = -\frac{\eta}{\gamma} \left(E_x + \dot{y}B_z - \dot{z}B_y - \frac{\dot{x}}{c^2} (\dot{x}E_x + \dot{y}E_y + \dot{z}E_z) \right) \\ \ddot{y} = -\frac{\eta}{\gamma} \left(E_y + \dot{z}B_x - \dot{x}B_z - \frac{\dot{y}}{c^2} (\dot{x}E_x + \dot{y}E_y + \dot{z}E_z) \right) \\ \ddot{z} = -\frac{\eta}{\gamma} \left(E_z + \dot{x}B_y - \dot{y}B_x - \frac{\dot{z}}{c^2} (\dot{x}E_x + \dot{y}E_y + \dot{z}E_z) \right) \end{cases}$$

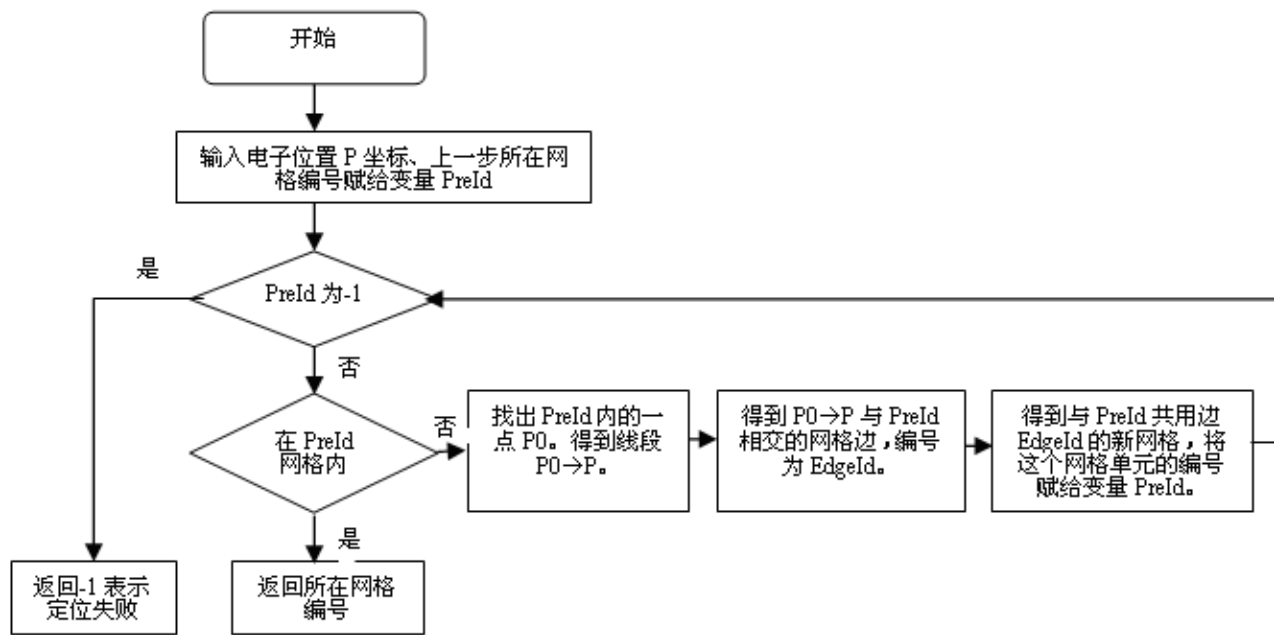
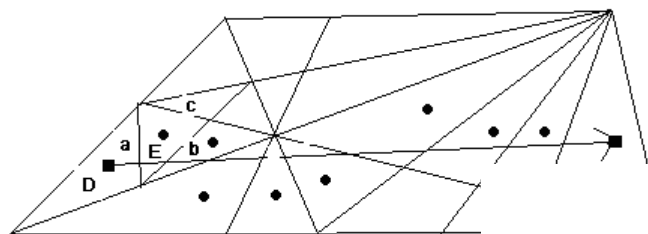
电子运动方程

- 扫描法:



电子运动方程

● 追踪法:



电子运动方程

- 其他优化:

$$V = \frac{1}{6} \begin{vmatrix} 1 & 1 & 1 & 1 \\ x_1 & x_2 & x_3 & x_4 \\ y_1 & y_2 & y_3 & y_4 \\ z_1 & z_2 & z_3 & z_4 \end{vmatrix} = \text{四面体体积}$$

$$\begin{aligned} &= 1 * (x_2 * (y_3 * z_4 - y_4 * z_3) - x_3 * (y_2 * z_4 - y_4 * z_2) + x_4 * (y_2 * z_3 - y_3 * z_2)) \\ &- = 1 * (x_1 * (y_3 * z_4 - y_4 * z_3) - x_3 * (y_1 * z_4 - y_4 * z_1) + x_4 * (y_1 * z_3 - y_3 * z_1)) \\ &+ = 1 * (x_1 * (y_2 * z_4 - y_4 * z_2) - x_2 * (y_1 * z_4 - y_4 * z_1) + x_4 * (y_1 * z_2 - y_2 * z_1)) \\ &- = 1 * (x_1 * (y_2 * z_3 - y_3 * z_2) - x_2 * (y_1 * z_3 - y_3 * z_1) + x_3 * (y_1 * z_2 - y_2 * z_1)) \end{aligned}$$

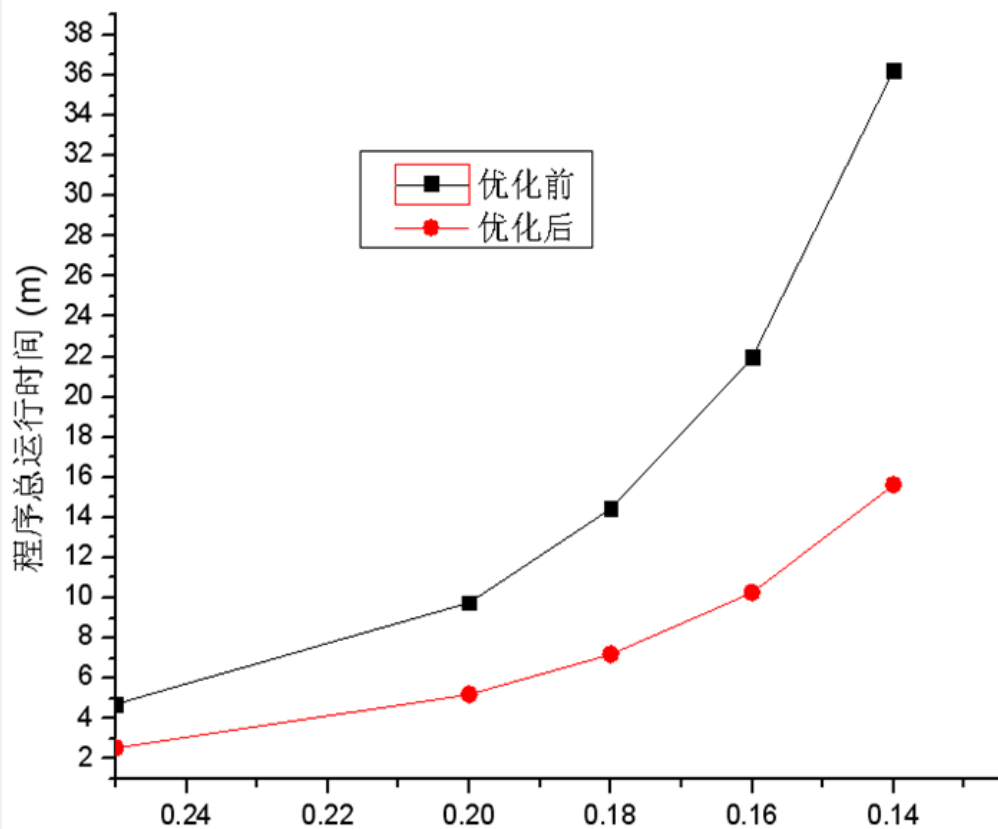
40次乘法, 23次加减法

$$\begin{aligned} &= (x_2 - x_1) * (y_3 * z_4 - y_4 * z_3) + (x_1 - x_3) * (y_2 * z_4 - y_4 * z_2) + (x_4 - x_1) * (y_2 * z_3 - y_3 * z_2) \\ &+ (x_3 - x_2) * (y_1 * z_4 - y_4 * z_1) + (x_2 - x_4) * (y_1 * z_3 - y_3 * z_1) + (x_4 - x_3) * (y_1 * z_2 - y_2 * z_1) \end{aligned}$$

18次乘法, 17次加减法

电子运动方程

- 优化前后对比:



- 电子运动方程
- **阴极热电子发射**
- 二次电子发射

阴极热电子发射

- 发射电流密度:

$$J_a = \frac{4\varepsilon_0}{9} \sqrt{\frac{2e}{m}} \frac{(U_a - U_m)^{3/2}}{(d_a - x_m)^2} \left(1 + \frac{2.66}{\sqrt{\eta_a}} \right)$$

$$\eta_a = \frac{11600(U_a - U_m)}{T}$$

$$U_m = \frac{kT}{e} \ln \left(\frac{J_a}{J_0} \right)$$

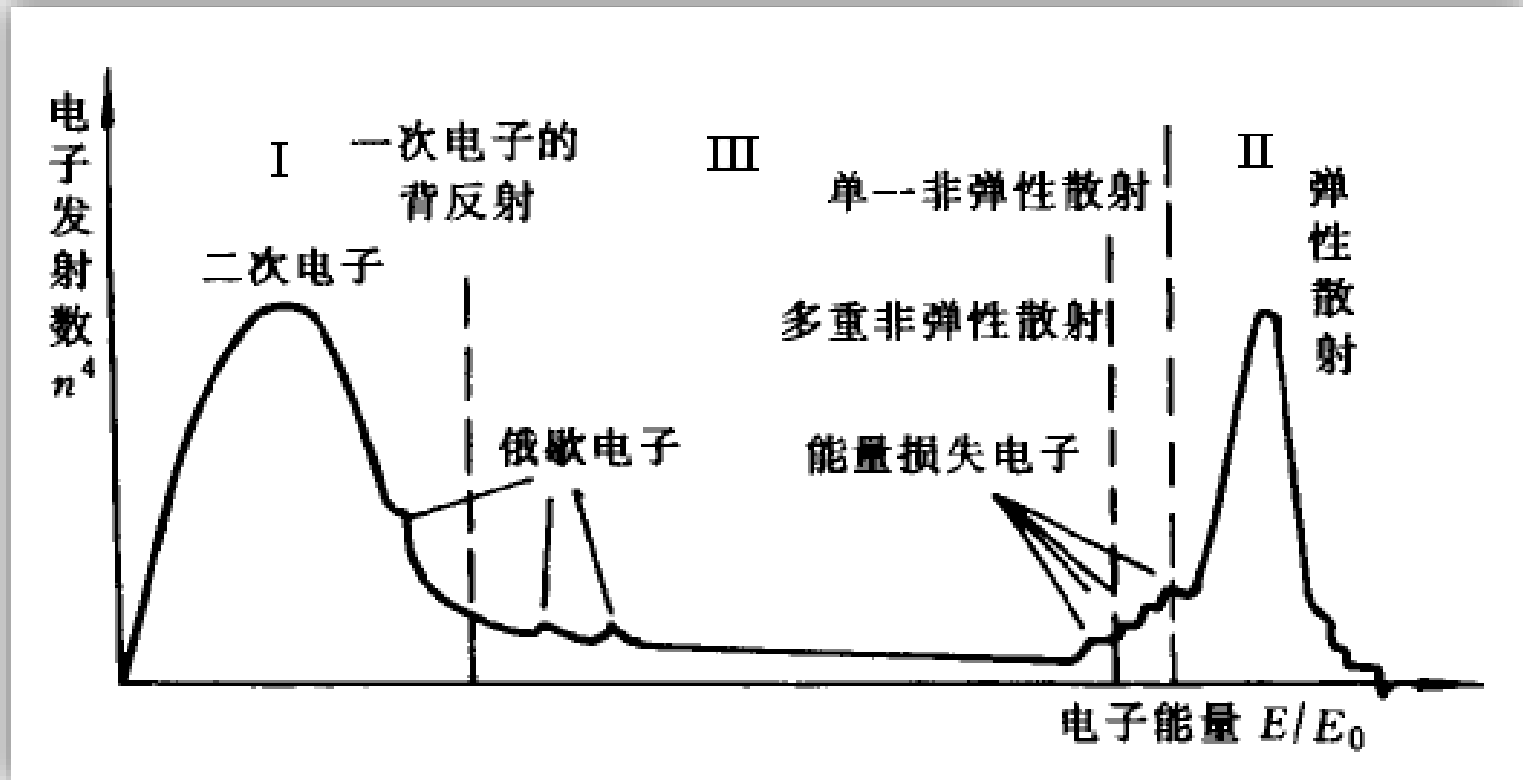
$$x_m = P \left(\frac{T}{1000} \right)^{3/4} \left(\frac{1}{1000J_a} \right)^{1/2}$$

$$J_0 = AT^2 \exp \left(-\frac{\phi}{kT} \right)$$

- 电子运动方程
- 阴极热电子发射
- **二次电子发射**

二次电子发射

- 二次电子发射模型：典型的二次电子能谱图



二次电子发射

总二次电子

$$\frac{\delta(\theta)}{\delta_{\max}(\theta)} = (ve^{1-\nu})^k$$

$$\nu = \frac{V_i - V_0}{V_{\max}(\theta) - V_0}$$

$$k = k_1 = 0.56 \quad \nu < 1$$

$$k = k_2 = 0.25 \quad 1 < \nu < 3.6$$

$$\frac{\delta(\theta)}{\delta_{\max}(\theta)} = 1.125 / \nu^{0.35} \quad \nu > 3.6$$

$$V_{\max(\theta)} = V_{\max(0)} (1 + k_s \theta^2 / \pi)$$

$$\delta_{\max(\theta)} = \delta_{\max(0)} (1 + k_s \theta^2 / 2\pi)$$

copper: $k_s=1$

Graphite: $k_s=0$

背散射电子

$$\eta(E, Z) = E^{m(Z)} C(Z)$$

$$m(Z) = 0.13182 - \frac{0.9211}{Z^{0.5}}$$

$$C(Z) = 0.1904 - 0.2236 \ln Z + 0.1292 (\ln Z)^2 - 0.01491 (\ln Z)^3$$

$$r = \eta_{\text{inel}} / \eta_{\text{el}}$$

For copper $r = 3$

For graphite $r = 0.6$.

1.真二次电子; 2.弹性反射电子; 3.非弹性反射电子。